

# Tafeln

Autor(en): **[s.n.]**

Objektyp: **Appendix**

Zeitschrift: **Eclogae Geologicae Helvetiae**

Band (Jahr): **39 (1946)**

Heft 2

PDF erstellt am: **12.07.2024**

## **Nutzungsbedingungen**

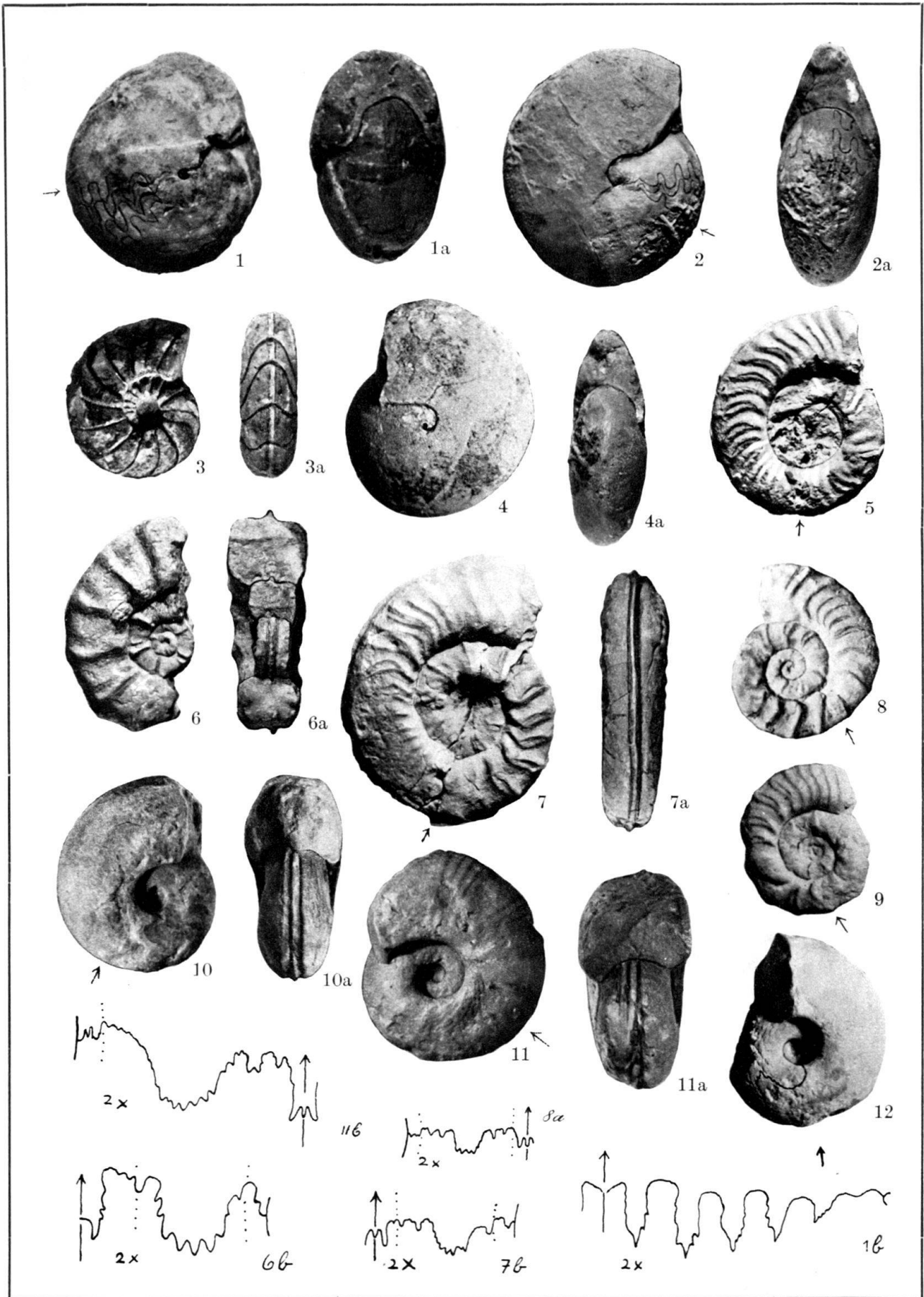
Die ETH-Bibliothek ist Anbieterin der digitalisierten Zeitschriften. Sie besitzt keine Urheberrechte an den Inhalten der Zeitschriften. Die Rechte liegen in der Regel bei den Herausgebern.

Die auf der Plattform e-periodica veröffentlichten Dokumente stehen für nicht-kommerzielle Zwecke in Lehre und Forschung sowie für die private Nutzung frei zur Verfügung. Einzelne Dateien oder Ausdrucke aus diesem Angebot können zusammen mit diesen Nutzungsbedingungen und den korrekten Herkunftsbezeichnungen weitergegeben werden.

Das Veröffentlichen von Bildern in Print- und Online-Publikationen ist nur mit vorheriger Genehmigung der Rechteinhaber erlaubt. Die systematische Speicherung von Teilen des elektronischen Angebots auf anderen Servern bedarf ebenfalls des schriftlichen Einverständnisses der Rechteinhaber.

## **Haftungsausschluss**

Alle Angaben erfolgen ohne Gewähr für Vollständigkeit oder Richtigkeit. Es wird keine Haftung übernommen für Schäden durch die Verwendung von Informationen aus diesem Online-Angebot oder durch das Fehlen von Informationen. Dies gilt auch für Inhalte Dritter, die über dieses Angebot zugänglich sind.



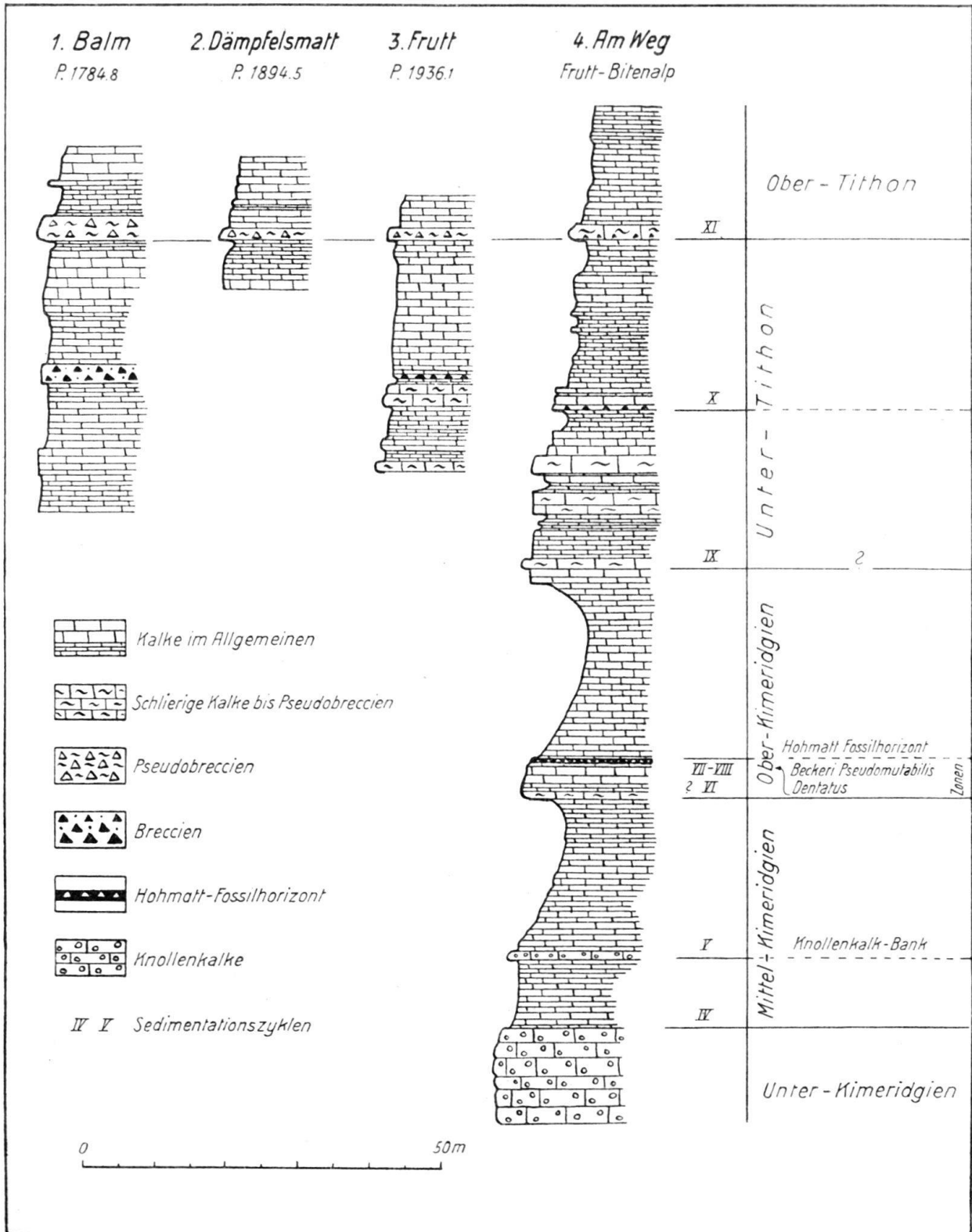




Fig. 1

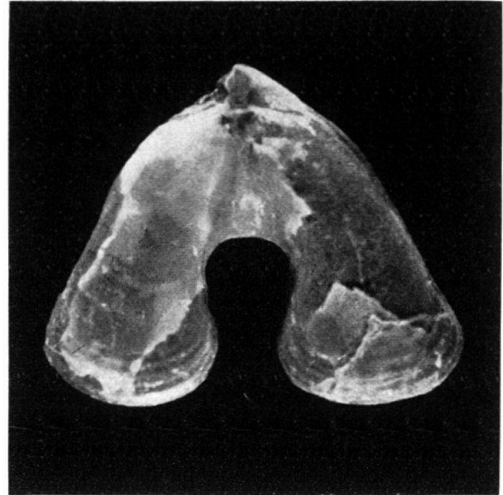


Fig. 2

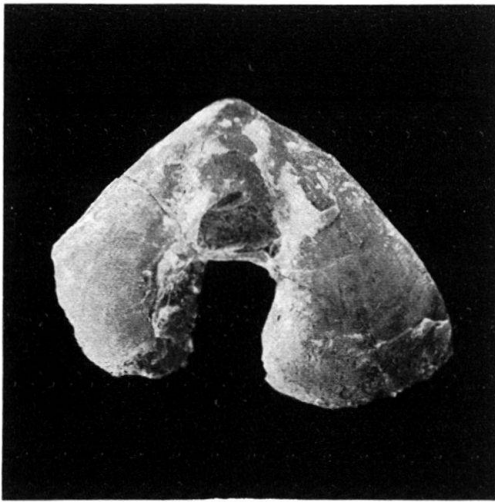


Fig. 3

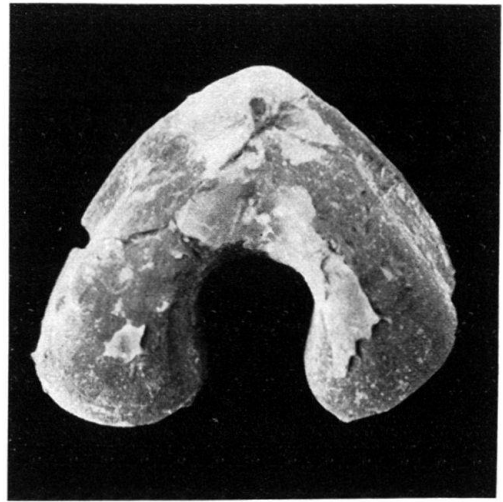


Fig. 4a



Fig. 4b



Fig. 4c

Phot. A. Sommer.

Repr. Birkhäuser, Basel.

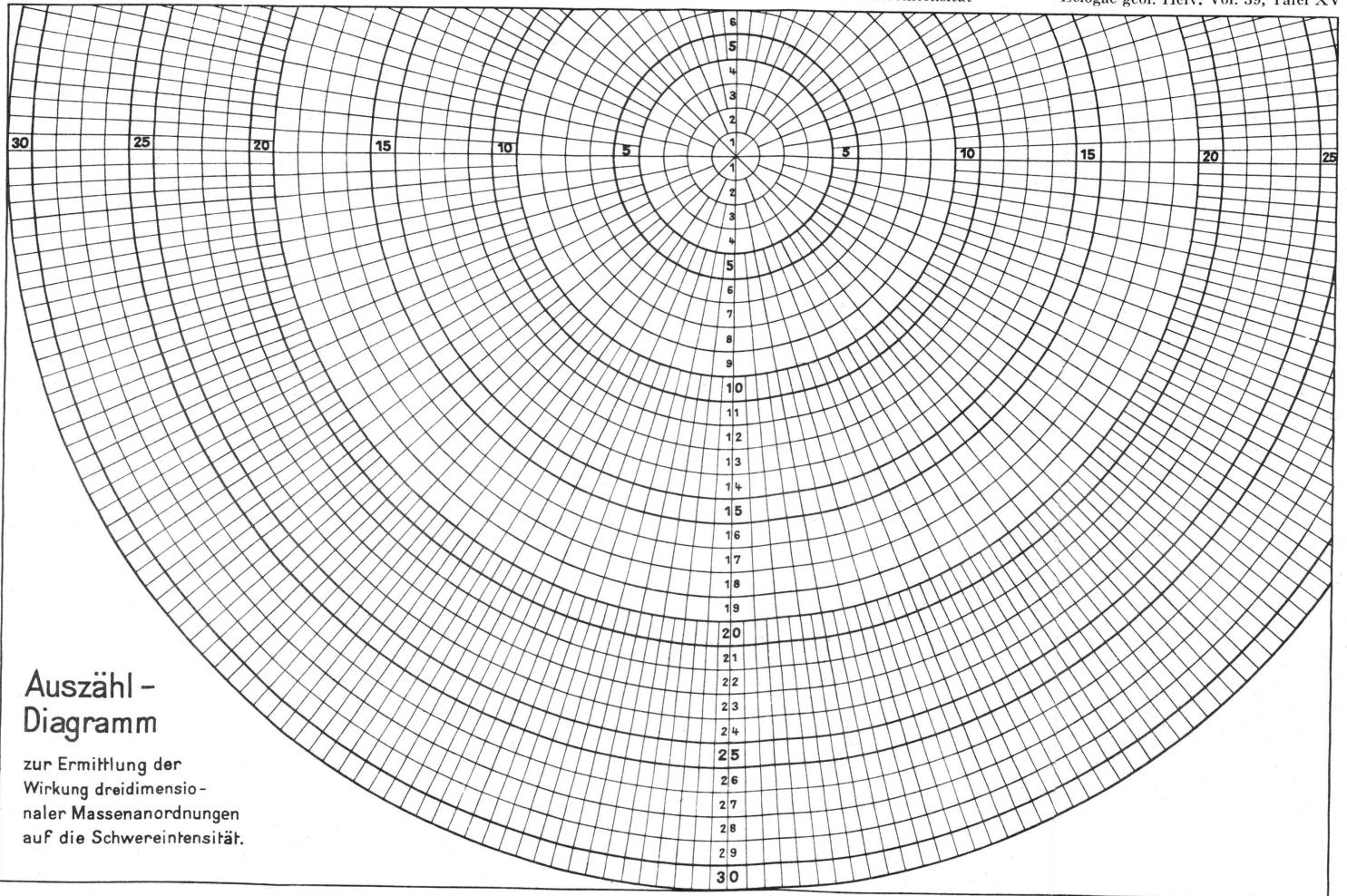


Diagramm zur Bestimmung des Einflusses dreidimensionaler Massenarrangierungen auf die Schwereintensität

Fortsetzung der Kurven siehe Tafel XVII oben

$$t_n(p) = \frac{2\pi \cdot 6.667 \cdot 0.5}{e_n} (1 + \sqrt{(n-1)^2 + p^2} - \sqrt{n^2 + p^2})$$

n	e <sub>n</sub>
1	8
2	16
3 u. 4	32
5 bis 9	64
10 bis 19	128
20 bis 30	256

N.B. Die Ordinaten der Kurven von n = 1 bis 4 liefern 0,1 t<sub>n</sub>(p); alle anderen t<sub>n</sub>(p) selbst.

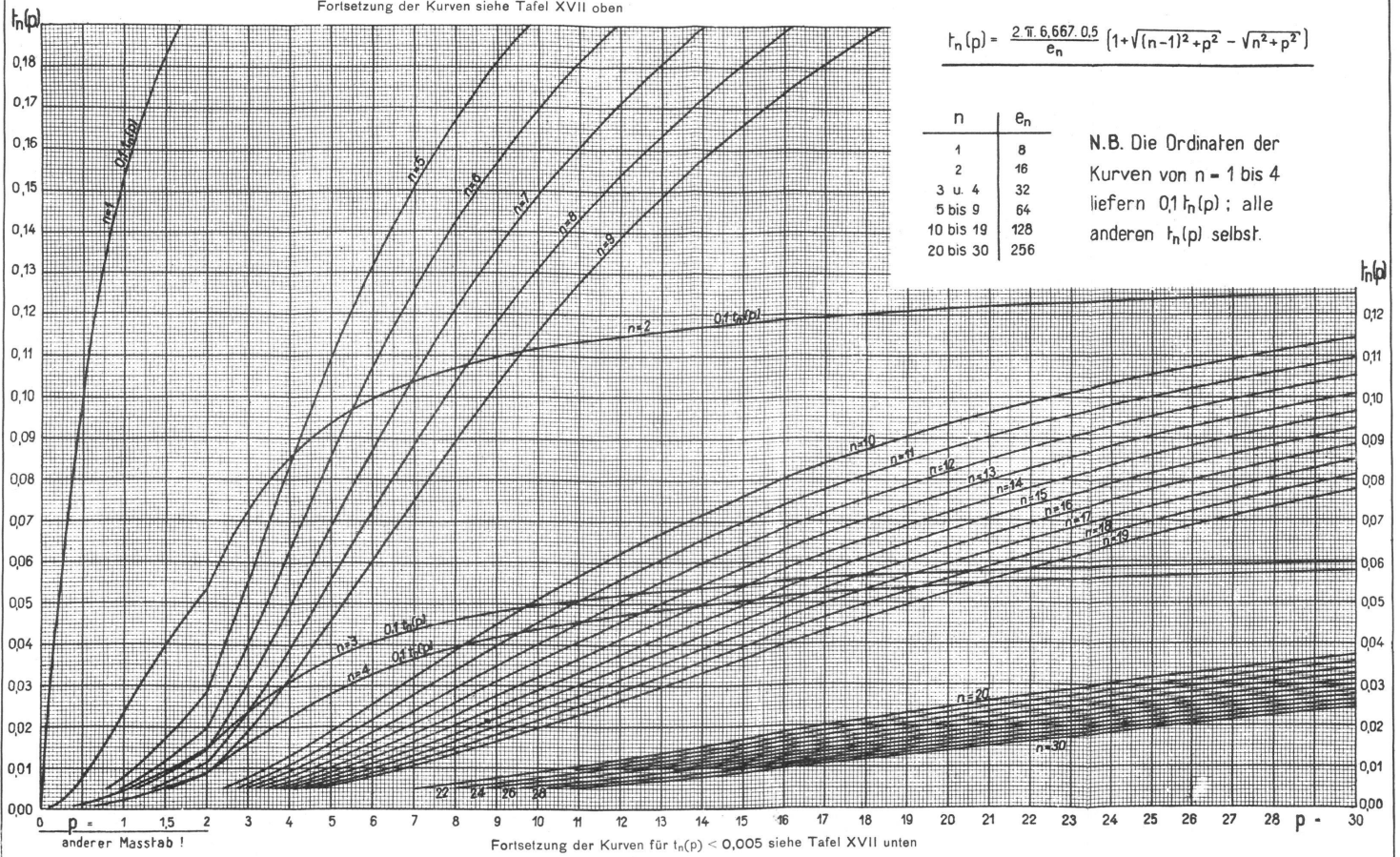


Diagramm zur Bestimmung des Einflusses dreidimensionaler Massenarrangements auf die Schwereintensität

Fortsetzung der Kurven von Tafel XVI, Formel für  $I_n(p)$  siehe Tafel XVI

